

~~367757~~

# 中国造船工程学会 1962年年会论文集

第一分册

船舶力学



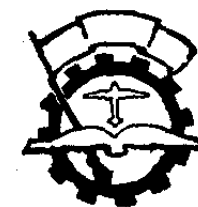
国防工业出版社

中国造船工程学会  
1962年年会論文集

第一分册  
船舶力学

本分册編輯

严似松 高志希 楊代盛 楊 標  
王世銓 張孝鏞 孫海濤 柴揚業  
王維宇



国防工业出版社

1964

## 內容簡介

本分冊選編了十七篇論文，其中船舶流体力學方面十篇，主要討論了排水量船的穩性、阻力、推進、適航性及水翼艇、氣墊船的流体力學等問題；船舶結構力學方面七篇，主要討論了船體結構設計、強度計算及船體材料選用等問題。

本書可供造船工程技術人員和大專院校師生參考。

## 中國造船工程學會1962年年會論文集

第一分冊

船 舶 力 學

中國造船工程學會編

\*

國防工業出版社出版

北京市書刊出版業營業許可證出字第074號

國防工業出版社印刷廠印裝 內部發行

\*

787×1092<sup>1</sup>/<sub>16</sub> 印張23<sup>1</sup>/<sub>2</sub> 563千字

1964年11月第一版 1964年11月第一次印刷 印數：0,001—1,200冊

統一書號：N15034·780 定價：（科八-2）4.80元

# 目 录

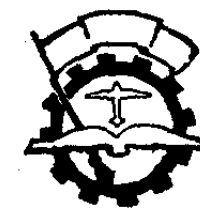
前言	3
序言	4
現有长江船的阻力試驗	7
二元超空泡水翼線性化理論	50
水翼艇的靜穩定性	76
論船型研究問題	83
船舶螺旋桨强度实用計算	107
自由液面对大傾角稳定的效应	132
关于“稳定性报告书”的内容与形式	148
气垫飞行器原理	188
气垫船的理論設計問題	201
船舶在海浪中运动的計算方法	223
考慮到构件剖面減縮后的舯剖面設計	246
橫构架式鋼質海洋干货船舶舯剖面的計算設計法	256
船舶上层建筑强度計算方法的初步方案	271
貨輪底部板架强度計算方法的初步方案	296
肘釗在船体結構中的作用	318
鋁合金在船舶上层建筑中的应用	337
水泥船概論	355

中国造船工程学会  
1962年年会論文集

第一分册  
船舶力学

本分册編輯

严似松 高志希 楊代盛 楊 標  
王世銓 張孝鏞 孫海濤 柴揚業  
王維宇



国防工业出版社

1964

## 內容簡介

本分冊選編了十七篇論文，其中船舶流体力學方面十篇，主要討論了排水量船的穩性、阻力、推進、適航性及水翼艇、氣墊船的流体力學等問題；船舶結構力學方面七篇，主要討論了船體結構設計、強度計算及船體材料選用等問題。

本書可供造船工程技術人員和大專院校師生參考。

## 中國造船工程學會1962年年會論文集

第一分冊

船 舶 力 學

中國造船工程學會編

\*

國防工業出版社出版

北京市書刊出版業營業許可證出字第074號

國防工業出版社印刷廠印裝 內部發行

\*

787×1092<sup>1</sup>/<sub>16</sub> 印張23<sup>1</sup>/<sub>2</sub> 563千字

1964年11月第一版 1964年11月第一次印刷 印數：0,001—1,200冊

統一書號：N15034·780 定價：（科八-2）4.80元

## 前　　言

中国造船工程学会于 1962 年 10 月 30 日在上海正式成立，与此同时，举行中国造船工程学会 1962 年年会。会议在党的正确领导下，在有关单位的大力支持下，充分发扬了党的百花齐放，百家争鸣的方针，使五天半的学术活动呈现出一片活跃气氛，取得了很大成果。

这次会议共收到 140 多篇来自全国各地的学术论文，由于这是第一次全国性的年会，所采取的是综合性的形式，从论文的性质来分，有对某一专业发展方向的综合评述，有对某一研究成果的专题论著，也有对某一项具体技术工作的经验介绍。从论文的内容来分，有船体专业、船用机电设备专业、工艺铸造专业和航海驾驶专业等，几乎包括了船舶工业的各个有关方面。在会议期间共分十三个专业小组进行论文宣读和讨论。

在会议期间由于论文印刷份数有限，参加会议的绝大部分同志都不能获得论文全文。因此不少同志反映希望能获得有关论文资料，为此，我会决定出版论文集，以满足大家需要。

本论文集根据会议宣读与讨论的结果，挑选了质量稍高的论文，以主要专业，分成船舶力学、运输船舶、渔船、船用内燃机、船用汽轮机与锅炉、船用电机电器、船舶工艺和航海驾驶等八个分册出版。每个分册有若干篇论文，并附有对该篇论文的讨论意见。

本论文集的出版是我会初次尝试，同时编写人员限于水平，误编不妥之处，亦在所难免，恳请读者批评指正。

中国造船工程学会

1963 年 8 月

## 序　　言

船舶力学包括船舶流体力学与船舶结构力学两部分，它是船体设计的理论基础，对船舶建造与使用有重大的意义。解放后，我国在船舶力学的研究方面有很大的进展，对促进我国的造船事业有一定的作用。这次年会活动，各地的有关人员提出了一些论文，现选择了其中的 17 篇汇编成船舶力学论文集。我们希望通过这些论文的发表与交流，对促进船舶力学研究工作有所帮助。

在船舶流体力学的 10 篇论文中：讨论了排水量船舶的稳性、阻力、推进与适航性，以及水翼艇及气垫船等的流体力学问题；如用静力学方法研讨了自由液面对大倾角横稳定性臂的效应，并对具有中纵舱壁的液体舱的自由液面效应提出了近似计算方法；汇编了现有长江船线型阻力的试验资料，初步分析了深水与浅水船线型的差别；提出了长江船的临界方形系数和最佳纵向浮心位置的曲线，并为进一步作系列试验推荐了母型船；对船舶在各类波浪中航行的适航性作了理论分析，并介绍了计算方法；系统地总结了二元超空泡水翼线性化理论的原理和数学基础，介绍并分析了其计算方法；探讨了气垫船的机理和流动特性，建立了计算飞行器托力的公式，对确定气垫飞行器最佳的结构参数时如何选取气垫参数提出了意见，对多气道气垫飞行器原理亦作了定性分析，等等。

在船舶结构力学的 7 篇论文中：讨论了船体结构设计、强度计算及船体材料选用等问题；如对考虑到构件剖面减缩影响设计船体舯剖面提出了计算方法，以及对典型的横骨架式干货船舯剖面的强力构件尺度提出了设计方案；规定了用三次近似逐步计算强力构件尺度的程序；汇集并分析了一些计算船舶上层建筑与双层底板架强度的方法，整理了一套计算程序与表格，同时说明应用不同的计算方法计算底部板架的结果相差不大，较详细地讨论了用载荷选择法计算底部板架与用能量法计算组合板的方法。在水泥船概论一文中，分析了国内外建造水泥船的情况，并对我国在设计、建造与使用钢丝网水泥船的经验作了详细的介绍。其他还有论述船舶结构中的肘板及铝合金在船上应用情况的文章，等等。

由于汇编工作匆促，难免有不妥之处，欢迎读者提供宝贵的意见和批评。

中国造船工程学会 1962 年年会论文集  
船舶力学分册编辑小组

# 目 录

前言	3
序言	4
現有长江船的阻力試驗	7
二元超空泡水翼線性化理論	50
水翼艇的靜穩定性	76
論船型研究問題	83
船舶螺旋桨强度实用計算	107
自由液面对大傾角稳定的效应	132
关于“稳定性报告书”的内容与形式	148
气垫飞行器原理	188
气垫船的理論設計問題	201
船舶在海浪中运动的計算方法	223
考慮到构件剖面減縮后的艙剖面設計	246
橫构架式鋼質海洋干货船舶艙剖面的計算設計法	256
船舶上层建筑强度計算方法的初步方案	271
貨輪底部板架强度計算方法的初步方案	296
肘釗在船体結構中的作用	318
鋁合金在船舶上层建筑中的应用	337
水泥船概論	355



# 現有长江船的阻力試驗

麥次平

本文系通过船模阻力試驗比較現有长江船的阻力性能。以往建造长江船时因未作船模試驗，阻力性能都比較差，消耗了不必要的馬力和燃料。分析的結果証實，在深水中阻力性能良好者在淺水中可能相反。所以对长江船仅通过深水試驗来选定船形，可能得出錯誤的結論。文中并根据深水試驗結果提出长江船的临界方形系数和最佳纵向浮心位置曲綫。临界方形系数曲綫与双螺旋桨海船的艾亞公式甚为接近。最佳纵向浮心位置似乎是傅汝德数、方形系数、寬度吃水比和長寬比的函数。分析高速度时，深水阻力性能良好者在淺水中情况可能相反的原因，曾引証阿布赫金的船模系列試驗結果作了初步解釋，并对与此相关的長寬比和寬度吃水比对湿面积和淺水船的影响加以討論。最后初步选出了可供进一步系列試驗基础的母型，并提出了今后研究此課題的意見。

## (一) 目 的

长江船是我国独有的一种內河船型，以往在这方面的研究工作极少，在設計时多依凭經驗。船舶科学研究所顏家驥和蔣懋昌同志所作的“长江船系列試驗”为目前仅有的一篇长江船阻力研究报告。由于条件的限制，仅在深水中进行了試驗。至于在淺水中的阻力如何，不无疑問。因此长江船型的研究，是我国造船科学中刻不容緩的任务。今先就現有长江船的阻力試驗加以分析比較，供設計者参考。并将进一步从中发掘优良船型，选为母型，作为今后作整套阻力系列試驗的基础。

## (二) 船模試驗

先从各方面收集現有的长江船，从中选择近年建造者(“G”、“A”、“F”、“K”、“I”、“J”和“E”)和一部分老船(“C”、“D”、“H”、“B”和“L”)共計12条，制成水綫长度3米的蜡模在上海交通大学船模試驗池进行深水阻力試驗。其中“G”、“A”、“F”、“I”、“E”、“C”、“D”、“H”和“B”9条进行四种載重情況的深水阻力試驗如下：

- (1) 滿載情況：即正常情況，吃水=1.0T；
- (2) 輕載情況：吃水=0.9T，但无尾傾；
- (3) 超載情況：吃水=1.1T，也无尾傾；
- (4) 輕載尾傾：水綫通過吃水0.9T時的水平面漂心，船尾吃水是1.0T，其排水量和平浮状态時約略相等。其余“J”、“K”和“L”3条仅进行(1)滿載情況和(2)輕載情況的深水阻力試驗。

船舶科学研究所也将現有的长江船“A”、“F”及“E”和新設計的长江船“M”共計4条制成木模，进行正常吃水情況(1.0T)下的深水阻力試驗。船模長度除“F”为垂綫长度2米外，其他都是水綫长度2.5米。

最后在交大船池借研究河道中駁船阻力課題試驗之便（当时交大原有的蜡模已經变

形), 借得上述船舶科学研究所的“*A*”、“*F*”、“*E*”和“*M*”4条木模在底寬为3.6米, 边坡为 $\frac{1}{3}$ , 水深为吃水的1.5倍至2.5倍范围内进行河道断面中阻力試驗。并于河道边坡除去后, 在充分寬度情况下进行“*F*”、“*E*”和“*M*”3条船模在水深为吃水的3.4倍时的淺水阻力試驗。

以上13条长江船的主要尺度和船型系数列載于表。其横剖面图和首尾外形見图1至图13。其横剖面面积曲綫图見图14和图15。

以上13条长江船模于試驗时不裝附件。激流方法都在 $9\frac{1}{2}$ 站处縛有直徑1毫米的激流絲。

### (三) 換算方法和数据表达

在将上項深水、淺水和断面中船模試驗結果換算到实船时, 对摩擦阻力的計算都用柏兰特和許立汀光滑平板公式:

$$\zeta_f = 0.455(\log_{10} R_n)^{-2.58}$$

式中  $\zeta_f$ ——摩擦比阻力;

$R_n$ ——雷諾特数。

且一律修正至水溫为15°C阻力, 并另加粗糙度附加数  $\Delta\zeta_f = 0.0004$ 。对于淺水回流影响系用許立汀曲綫估計。在断面中, 再将許立汀回流数值作如下修正:

$$(\Delta\nu)_{\text{修正}} = (\Delta\nu)_{\text{基本}} \cdot \left( \frac{\bar{b}}{\bar{b} - B_m} \right),$$

式中  $\Delta\nu$ ——限制航道中的回流;

$\bar{b}$ ——河道断面的平均寬度;

$B_m$ ——船模的寬度。

比較不完全相似的船形时, 应以每排水吨总阻力  $\frac{R_t}{D}$  为基础。阻力中摩擦阻力部分主要决定于船体的湿面积, 其剩余阻力部分則受船形影响甚大, 所以用控制剩余阻力的傅汝德数  $F_r$  为横座标, 其中总阻力  $R_t$  都換算至水綫长度为100米实船, 以照顾长度不同时对摩擦阻力系数的差別。如图16为正常吃水  $(1.0)\frac{R_t}{D_s}$  对  $F_r$  的曲綫, 其中  $R_{ts}$  为实船的总阻力公斤数,  $D_s$  为实船的排水量吨数。 $\frac{R_t}{D}$  对  $F_r$  的数据表达法虽简单明了, 但用  $\frac{R_t}{D \cdot F_r^2}$  对  $F_r$  曲綫在制图时比較方便, 且可使阻力“凸起”和“凹陷”明显。深水中四种不同载重情况下的  $\frac{R_{ts}}{D_s \cdot F_r^2}$  对  $F_r$  曲綫見图17至图20。船舶科学研究所的所試深水阻力曲綫見图21。淺水阻力曲綫見图22。断面阻力曲綫見图23。

### (四) 討論

一般來說, 較老的长江船阻力性能比較差。例如长江船“*H*”和“*L*”的棱形系数和主要尺度比值都相近, 但由图24可見, 其剩余阻力差別相当大。这里充分說明除棱形系数和尺度比值外, 型綫形状对阻力的重要意义。两船顯明的差异是“*H*”的浮心比較在前。

在1.0 T时长江船“*K*”以水綫长度計的棱形系数  $\Psi = 0.6615$ , 长江船“*G*”的

$\Phi = 0.6672$ , 两者相近。“K”长100米时每排水吨湿面积平方米数 $(\frac{\Omega}{D})_{100\text{米}} = 0.418$ , “G”的 $(\frac{\Omega}{D})_{100\text{米}} = 0.419$ , 所以其每排水吨摩擦阻力相等。主要由于“K”的纵向浮心位置 $x_c = -0.491\% L$  ( $L$ 系水线长度), “G”的 $x_c = -2.08\% L$ ; 由图17可見当 $F_r < 0.21$ , “K”略低, 当 $F_r > 0.21$ , “K”反相当高。在0.9 T时, “K”的 $(\frac{\Omega}{D})_{100\text{米}} = 0.426$ , “G”的 $(\frac{\Omega}{D})_{100\text{米}} = 0.447$ 。“K”的 $x_c = 0.439\% L$ , “G”的 $x_c = -1.341\% L$ , 此差別較1.0 T时大为減小。照图18, 当 $F_r < 0.266$ 时“K”的阻力較低, 在高速度时“K”的阻力較高但差別不大。

在1.0 T时长江船“D”的 $\Phi = 0.7051$ , 长江船“C”的 $\Phi = 0.7026$ , 两者相近。“D”的 $(\frac{\Omega}{D})_{100\text{米}} = 0.411$ , “C”的 $(\frac{\Omega}{D})_{100\text{米}} = 0.485$ , 但由图17可見在低速度时“D”仅稍低于“C”, 在 $F_r = 0.22$ 时两船的总阻力相等。这主要由于“D”的闊尾带来了較大的旋渦阻力。在其他載重情况下, 图18 (0.9 T)、图19 (1.1 T) 和图20 (0.9 T尾傾)和图17相似, 所不同的是由于不同載重情况时的尾部丰满度不同, 在1.1 T当 $F_r = 0.175$ 时, 在0.9 T当 $F_r = 0.23$ 时和在0.9 T尾傾当 $F_r = 0.168$ 时两船的总阻力相等。在高速度时主要由于“C”的排水体积长度系数和水线进角都小, 所以其阻力显然降低。此較图29及图30更易看出其剩余阻力的差別。

在1.0 T时长江船“J”的 $\Phi = 0.65$ , “B”的 $\Phi = 0.647$ ; 在0.9 T时“J”的 $\Phi = 0.643$ , “B”的 $\Phi = 0.638$ ; 两者都相近。由于“J”的寬度吃水比大, 其每排水吨湿面积甚大, 所以在图17和图18上的阻力曲綫特別高。图25表示其剩余阻力对傅汝德数关系。在1.0 T时, “J”的 $x_c = 0.6879\% L$ , 排水体积长度系数 $\Delta / (\frac{L}{10})^3 = 2.92$ , 寬度吃水比 $\frac{B}{T} = 5.42$ , 闊尾式。“B”的 $x_c = -0.904\% L$ ,  $\Delta / (\frac{L}{10})^3 = 3.91$ ,  $\frac{B}{T} = 3.72$ , 巡洋舰尾式。其横剖面積曲綫也有很大差別。当0.9 T时虽两船的纵向浮心位置和船尾形状的差別減小, 但剩余阻力的差別反增。此两船系不同船型, 仅棱形系数相近, 阻力差异原因比較复杂。

在1.0 T时长江船“A”的 $\Phi = 0.6744$ , 长江船“I”的 $\Phi = 0.676$ , 两者甚接近, 其形状也很相似。虽“A”較寬而淺, 但可能由于其纵向浮心位置和水淺进角較佳, 所以具有良好的阻力性能。其他載重情况与此相似。見图26和图27。

图25表示长江船“A”和“M”据船舶科学研究所試驗結果在不同速度时剩余阻力的差別。此两船的棱形系数相近。当 $F_r < 0.215$ , “A”的剩余阻力較低; 当 $F_r$ 在0.215和0.27間, “M”較低; 当 $F_r > 0.27$ , “A”又較低。

长江船“F”和“E”的棱形系数相近。在1.0 T时“F”的 $L/B = 5.013$ ,  $\frac{B}{T} = 4.125$ ,  $x_c = -1.09\% L$ , 船首V形剖面, 水线进角 $\theta = 21^\circ$ , 船尾闊尾式。“E”的 $\frac{L}{B} = 5.36$ ,  $\frac{B}{T} = 5.028$ ,  $x_c = -2.66\% L$ , 船首U形,  $\theta = 12^\circ$ , 船尾比較丰满。由图28剩余阻力曲綫可見, 在深水試驗中, 低速度时“F”較“E”低, 高速度时“E”較“F”低, 但淺水( $h/T = 3.4$ )試驗的結果与此相反, 低速度时“F”較“E”高, 高速度时“E”

較 “F” 高。由於 “F” 的每噸濕面積較小，所以就總阻力言，在低速度時 “F” 的每噸深水總阻力和淺水總阻力都較 “E” 低；但在高速度時深水總阻力和淺水總阻力的高低則仍相反。在斷面中試驗的結果和淺水結果相仿，比較圖 22 和圖 23。於此証實船在淺水中的相對阻力性能可能和在深水中並不相同，因而對長江船僅通過深水試驗以選定船形可能得出錯誤的結論。

圖 29 至圖 37 為 9 条長江船在不同載重情況下的阻力曲線。一般來說，在低速度時，闊尾者在 1.0 T 和 1.1 T 時剩餘阻力較低，0.9 T 時較高。船尾較瘦者在 0.9 T 尾傾較低，其他情況較高。在高速度時，總的趨勢是剩餘阻力在 1.1 T 時最高，1.0 T 次之，0.9 T 再次之，0.9 T 尾傾最低，也就是隨著船首形狀的漸次瘦削而減少。

此次試驗所用船模尺度和材料不尽相同，因而進行比較受到一定的限制。再則在船池中只作了船模的阻力拖曳試驗，未作自航試驗，所以尚不能對船的航行性能作全面的比較。

### (五) 临界方形系数和最佳纵向浮心位置探討

在船舶設計中合適方形系数的選擇甚為重要；一般在決定傅汝德數後，即可選定。現繪制在同一傅汝德數時包括各種載重情況的長江船  $\frac{R_t}{DF^2}$  對方形系数曲線。曲線的連繩一般是通過這一傅汝德數時每噸阻力最低的點子，也就是說代表形狀優良的長江船在同一傅汝德數下每噸阻力對方形系数的變動情況，如圖 38 所示。然後取每一曲線的臨界方形系数，就是指方形系数超過此值時每噸阻力開始迅速增加。現將不同傅汝德數時的臨界方形系数繪制如圖 39 所示，可見所得點子尤其在速度較高時和雙螺旋槳海船的艾亞臨界方形系数公式：

$$S = 1.09 - 1.68F,$$

甚為接近。如考慮到低速度時的點子，則長江船的臨界方形系数和傅汝德數間的關係可用圖 39 中虛線表示。

用上述類似方法可得不同傅汝德數時的最佳纵向浮心位置如圖 40 中曲線 “b” 所示。圖 41 中曲線 “a” 和 “c” 間是最佳纵向浮心位置的範圍，浮心位置在這範圍內變動與在最佳位置處比較每噸阻力最多不超過 1%。圖 41 中虛線為長江船最佳纵向位置對傅汝德數關係。可見當  $F \geq 0.25$  時，本文指出的長江船最佳纵向浮心位置和雙螺旋槳海船的艾亞曲線極為接近。但當  $F < 0.25$  時，長江船的最佳纵向浮心位置較艾亞曲線偏後。其原因可能由於長江船的寬度吃水比較大，一般是在 4 左右或者更大一些。照艾亞單螺旋槳海船和雙螺旋槳海船的最佳纵向浮心位置間的變化來看，在高速度時，兩曲線間差別很小；但隨着速度降低，差別逐漸增大。也就是說，隨着速度降低，一般來說寬度吃水比較大的雙螺旋槳海船最佳纵向浮心位置比寬度吃水比較小的單螺旋槳海船偏後。因長江船的寬度吃水比更大，所以隨着速度降低，最佳纵向浮心位置較雙螺旋槳海船更趨偏後。又因照本文分析方法所得到的最佳纵向浮心位置結論和一般通過船模系列試驗方法不同，後者的方形系数是相同的，而前者是根據方形系数各不相同的現有長江船。由於方形系数較小者阻力較小。所以本文給出的曲線實際上代表與高速度配合的小方形系数長江船的最佳纵向浮心位置。對與低速度配合的大方形系数船，其最佳纵向浮心位置很可能較圖 42 中虛線偏

前。再照蔣慰昌同志在“論沿海船的阻力”（中国造船第45期）一文中指出，長寬比較小的船的最佳纵向浮心位置在同一傅汝德数下往往要比長寬比較大的船偏前。所以綜上所述，最佳纵向浮心位置似乎是傅汝德数、方形系数、寬度吃水比和長寬比的函数。这是初步推測，有待进一步研究加以論証。

### (六) 長寬比和寬度吃水比对湿面积和淺水船的影响

就粗略分析現有长江船在各种載重情况下的湿面积，图42所示，可見若不計船形肥瘦的影响， $(\frac{\Omega}{D})_{100\text{米}}$ 主要受長寬比和寬度吃水比控制，图中L指水綫长度  $L_{wl}$ 。

又在本文(五)討論中提到，长江船“E”和“F”两船的棱形系数約略相同，但在高速度时长江船“E”的深水阻力性能較佳，而在淺水( $\frac{h}{T} = 3.4$ )中长江船“F”阻力性能反較佳。这种現象可以引証阿布赫金的“內河船舶主要尺度对水阻力影响”(造船譯丛第9期)一文中的船模系列試驗結果来作初步解釋。現取阿布赫金的淺水( $\frac{h}{T} = 4.0$ )試驗結果繪制图43、44和45所示，图中 $\zeta$ 是剩余比阻力，这里可以看出長寬比和寬度吃水比的增加使臨界速度出現較早。由于长江船“F”的長寬比和寬度吃水比都較“E”小，长江船“F”虽在深水中阻力較差，但因在淺水中臨界速度出現較迟，并且湿面积較小；所以在臨界速度前航行时，长江船“F”的每吨剩余阻力或总阻力可能都反較小。必須指出，在阿布赫金的系列試驗中排水量D为常数，而  $R_s = \frac{1}{2} \rho \Omega v^2$ ，其中湿面积  $\Omega$ 隨長寬比和寬度吃水比增加而增大，所以每吨剩余阻力  $\frac{R_s}{D}$ 对長寬比和寬度吃水比的变差更为显著。

对一般淺水船，在客船寬度吃水比的大小常决定于稳性上的要求；在貨船則尚需考慮載重量的大小。在深水中，一般是寬度吃水比愈大者剩余阻力常愈高。在淺水中照上述阿布赫金的試驗結果可以說也是这样，現复制其  $\delta = 0.76$ 、 $\frac{h}{T} = 4$  和  $\frac{L}{B} = 6.8$  在不同傅汝德数时剩余比阻力对寬度吃水比的变动情况如图46所示，可見寬度吃水比为实际上可用的最小值时其总阻力常最小。由于隨長寬比的增加，臨界速度較早出現；又隨長寬比的增加，湿面积增大。这里說明了淺水船的長寬比低于一般海船可以有利。当然，長寬比过小者，阻力也反增。因此必有一最佳長寬比或長寬比范围，其时阻力最低，这对船舶設計将有一定的指导意义。图47是复制的阿布赫金的試驗結果，显示  $\delta = 0.76$ 、 $\frac{h}{T} = 4$  和  $\frac{B}{T} = 7$  在不同傅汝德数时剩余比阻力对長寬比的变动情形。

### (七) 母型的初步选择和今后研究的意見

要对长江船的阻力作全面的探討，最佳的途徑只有选择母型并进行整套船模系列試驗，这也是本文的最終目的。因长江深水处較多，今将現有长江船的深水船模試驗結果和相当的泰洛标准組船模阻力进行間接比較，以便得出現有长江船中的优良船形。比較結果如图48所示。可見當約  $F_r > 0.24$  时，长江船“A”就每吨总阻力最佳。當  $F_r$  在 0.21 至 0.24 間，长江船“A”仅略次于长江船“H”，但最多約為 1%。當  $F_r < 0.21$  时，长江船“A”

仍最佳。这里长江船“L”不計在内，因其船形实际上已属于海船。图中M（交大池）是指船舶科学研究所的长江船模“M”后来曾在交大池中試驗所得結果据以进行計算比較。所以认为将来进一步作系列試驗时可取长江船“A”作为母型。

在进行系列試驗前，还需对长江船“A”的横剖面形式、横剖面积曲綫两端的形式、尤其是船尾的形式及其对推进性能的影响等予以比較，再作最后选定。在深水中完成船模的系列試驗后，应再在淺水中进行試驗。

### (八) 結 束 語

长江船型的研究是一件巨大的工作，这仅仅是一个开端。由于党的正确領導、交大师生員工的集体努力、船舶科学研究員工的密切协作和各方面的积极支持，本文方克完成，与大家見面，以期抛磚引玉，提高对长江船阻力問題的認識，并为今后研究此項課題指出方向。

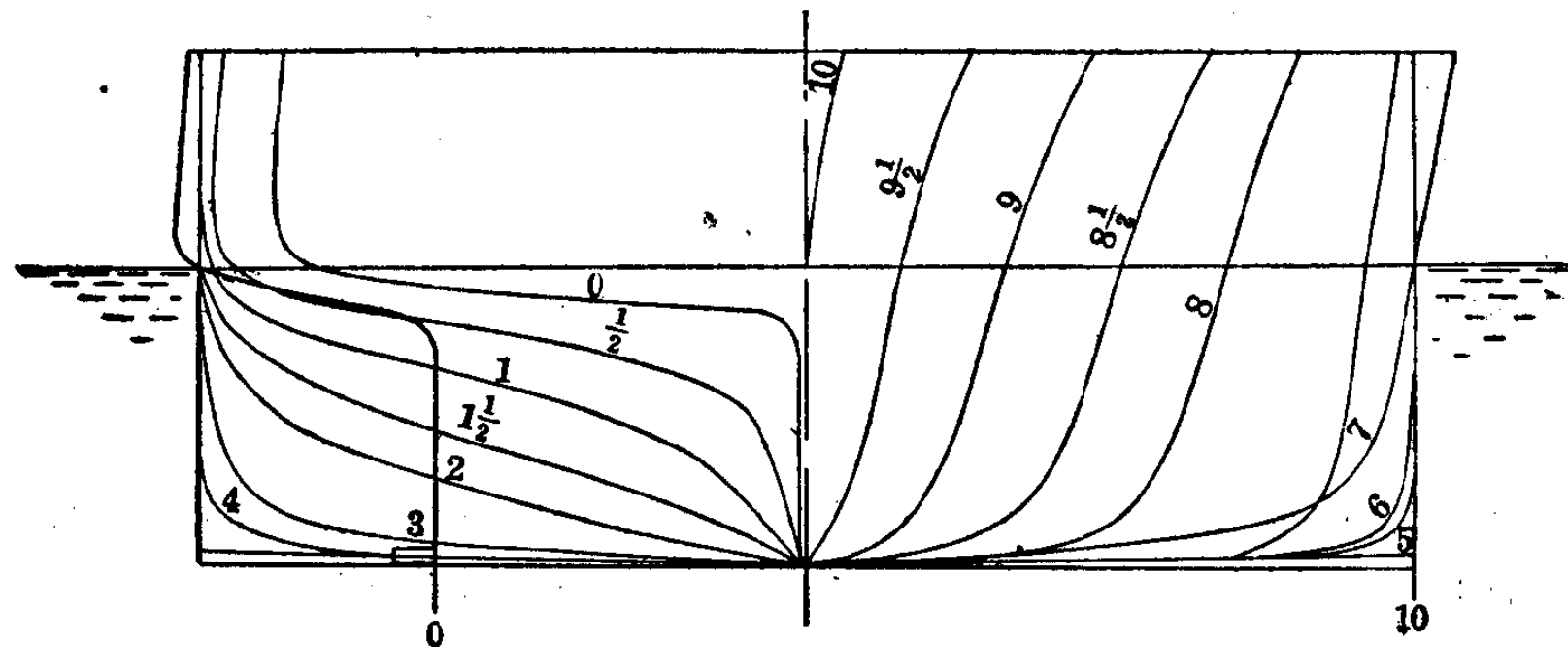


图1 “A”号

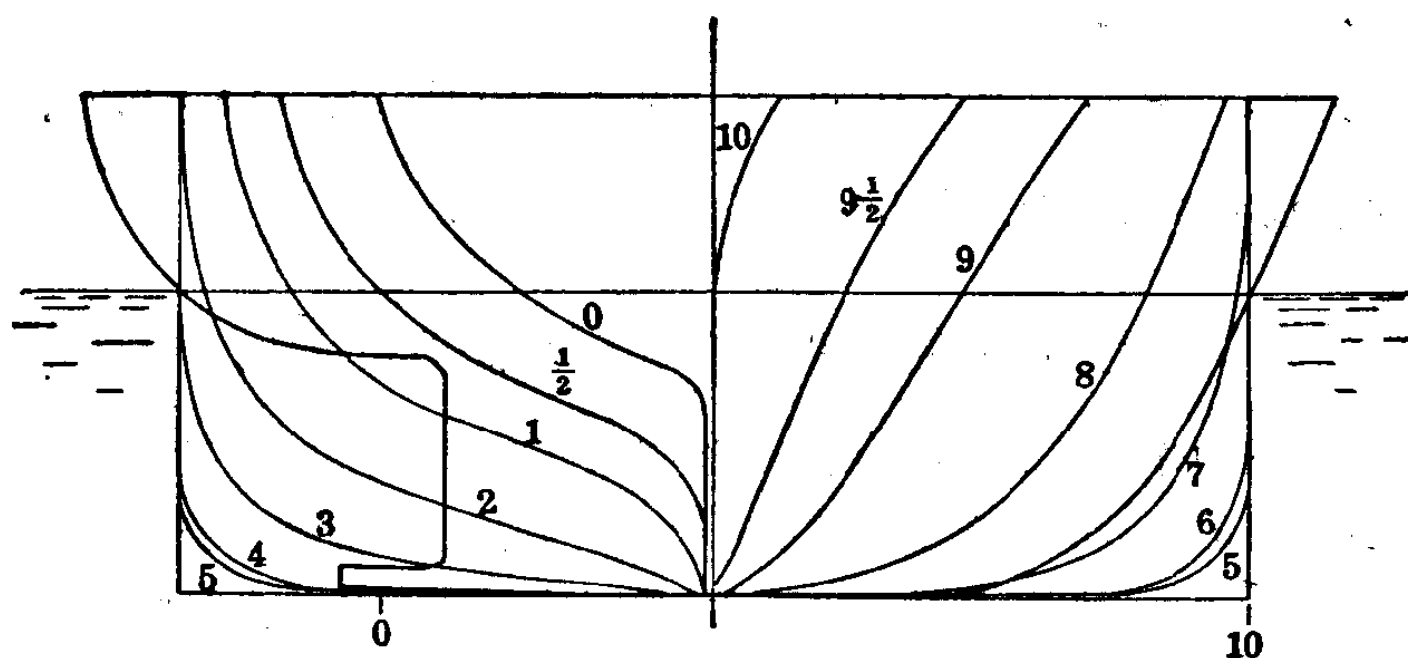


图2 “B”号

原

书

缺

页